

УДК 533.12

ДИНАМИЧЕСКОЕ ДЕФОРМИРОВАНИЕ УПРУГОВЯЗКОПЛАСТИЧЕСКОГО ПОЛОГО ШАРА

А. В. Кривоченко, А. Н. Спорыхин*

Старооскольский филиал Воронежского государственного университета,
309516 Старый Оскол

* Воронежский государственный университет, 394693 Воронеж
E-mail: avk-99@yandex.ru

С использованием определяющих соотношений для сжимаемого упрочняющегося упруговязкопластического тела исследовано напряженно-деформированное состояние полого шара под действием нагрузок, зависящих от времени. Получены аналитические решения для полей перемещений в упругой и пластической областях. Построены зависимости величины, обратной радиусу упругопластической границы, от времени, определено влияние физико-механических параметров на радиус упругопластической границы.

Ключевые слова: пластичность, вязкость, упрочнение, деформирование, функция нагружения, сжимаемость, дилатансия.

В работе [1] в статической постановке с использованием теории малых упругопластических деформаций рассматривалась задача об осесимметричной потере устойчивости толстостенной сферической оболочки, находящейся под действием равномерного давления. В работе [2] с использованием теории течения при допущении о несжимаемости материала исследовалась задача сложных сред. В работе [3] в динамической постановке при действии периодических нагрузок решалась задача о трехосном растяжении упругопластического пространства, ослабленного сферической полостью. В настоящей работе рассматривается динамическое деформирование полого сжимаемого упрочняющегося упруговязкопластического шара радиусом R с радиусом внутренней полости a (рис. 1). На внешнюю поверхность шара действует распределенная нагрузка P , на контур внутренней полости — нагрузка p , выражения для которых имеют вид

$$P = P^0 + \sum_{k=1}^n P^k e^{\omega_k t + \gamma_k}, \quad p = p^0 + \sum_{k=1}^n p^k e^{\omega_k t + \gamma_k}. \quad (1)$$

Здесь $k = 0, \dots, n$; $0 \leq t \leq \infty$; ω_k, γ_k — известные константы, причем $\omega_k < 0$.

Задача решается в сферической системе координат в безразмерных переменных. Величины, имеющие размерность длины, отнесены к радиусу упругопластической границы r_s , величины, имеющие размерность напряжений, отнесены к модулю сдвига μ .

С учетом осевой симметрии определяющие уравнения рассматриваемой задачи имеют следующий вид:

— уравнения движения:

$$\frac{\partial \sigma_r}{\partial r} + \frac{2}{r} (\sigma_r - \sigma_\theta) - \frac{\rho_0}{r} \frac{\partial^2 u}{\partial t^2} = 0 \quad (2)$$

(ρ_0 — безразмерная плотность материала; $u = u_r$);

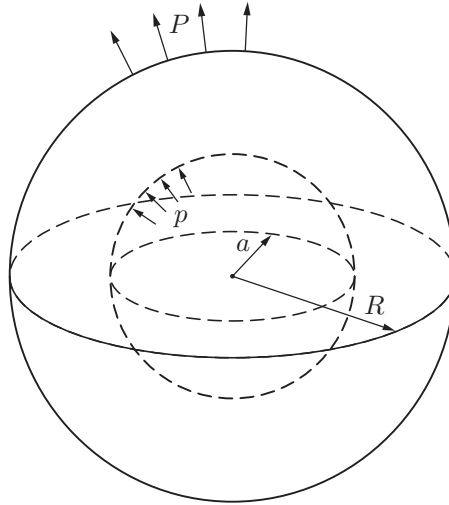


Рис. 1. Полый шар под действием внешних и внутренних динамических нагрузок

— соотношения Коши:

$$\varepsilon_r = \frac{du}{dr}, \quad \varepsilon_\theta = \frac{u}{r}; \quad (3)$$

— закон Гука для напряжений в упругой области:

$$\sigma_r = 2\varepsilon_r + \lambda_0(\varepsilon_r + 2\varepsilon_\theta), \quad \sigma_\theta = 2\varepsilon_\theta + \lambda_0(\varepsilon_r + 2\varepsilon_\theta), \quad \lambda_0 = \lambda/\mu. \quad (4)$$

Для сжимаемого упрочняющегося упруговязкопластического тела в модели Ивлева — Спорыхина [2–5] функция нагружения записывается в форме

$$F = \alpha\sigma_1 - (S_{ij} - c_0e_{ij}^p - \eta_0\dot{e}_{ij}^p)(S_{ij} - c_0e_{ij}^p - \eta_0\dot{e}_{ij}^p) - K_0 = 0,$$

где α — скорость дилатансии; $\sigma_1 = \sigma_{kk}/3$ — первый инвариант тензора напряжений; $S_{ij} = \sigma_{ij} - \sigma_{kk}\delta_{ij}/3$, $e_{ij} = \varepsilon_{ij} - \varepsilon_{kk}\delta_{ij}/3$ — девиаторы тензоров напряжений и деформаций соответственно; K_0 — предел текучести; c_0 , η_0 — параметры упрочнения и вязкости. Соотношения для полных деформаций в пластической области имеют вид $\varepsilon_{ij} = \varepsilon_{ij}^e + \varepsilon_{ij}^p$, ассоциированный закон пластического течения согласно [2, 4, 5] записывается в виде

$$\begin{aligned} \frac{\partial \varepsilon_r^p}{\partial t} &= \zeta \left(\frac{\alpha}{3} + \frac{S_r - c_0\dot{e}_r^p - \eta_0\ddot{e}_r^p}{K_0 - \alpha\sigma_1} \right) + \Psi(\sigma_1)\dot{\sigma}_1, \\ \frac{\partial \varepsilon_\theta^p}{\partial t} &= \zeta \left(\frac{\alpha}{3} + \frac{S_\theta - c_0\dot{e}_\theta^p - \eta_0\ddot{e}_\theta^p}{K_0 - \alpha\sigma_1} \right) + \Psi(\sigma_1)\dot{\sigma}_1 \end{aligned}$$

($\Psi = \text{const}$). Граничные условия и условия сопряжения принимают вид

$$\sigma_r|_{r=a_*} = \frac{p}{\mu}, \quad \sigma_r|_{r=qa_*} = \frac{P}{\mu}, \quad [\sigma_r]_{r=1} = 0, \quad [u]_{r=1} = 0, \quad a_* = \frac{a}{r_s}, \quad q = \frac{R}{a}. \quad (5)$$

В предположении, что в момент начала пластического течения $t = t_*$ зарождение пластической области начинается от границ внутренней полости шара, начальные условия задаются в форме

$$a_*|_{t=t_*} = 1. \quad (6)$$

Согласно (1) искомые функции принимают вид

$$\Phi(r, t) = \Phi^0(r) + \sum_{k=1}^n \Phi^k(r) e^{\omega_k t + \gamma_k}. \quad (7)$$

Используя уравнения движения (2), соотношения Коши (3) и закон Гука (4), для определения перемещений в упругой области получаем систему $n + 1$ дифференциальных уравнений:

$$\frac{d^2 u^k}{dr^2} + \frac{2}{r} \frac{du^k}{dr} - \left(2 + \frac{\rho_0 \omega_k^2}{2 + \lambda_0} \beta_k \right) \frac{u^k}{r^2} = 0, \quad k = 0, \dots, N,$$

$$\beta_k = \begin{cases} 0, & k = 0, \\ 1, & k > 0, \end{cases}$$

из которой находим

$$u^e = a_{11}^0 r + \frac{a_{12}^0}{r} + \sum_{k=1}^n (a_{11}^k r^{n_1^k} + a_{12}^k r^{n_2^k}) e^{\omega_k t + \gamma_k}, \quad (8)$$

где $n_{1,2}^k = 1/2 \pm \sqrt{9/4 + \rho_0 \omega_k^2 / (2 + \lambda_0)}$ ($k = 1, \dots, n$); a_{11}^k — константы интегрирования.

В соответствии с законом Гука компоненты напряжений в упругой области принимают вид

$$\begin{aligned} \sigma_r^e &= (2 + 3\lambda_0) a_{11}^0 + \frac{\lambda_0 - 2}{r^2} a_{12}^0 + \\ &+ \sum_{k=1}^n [(2\lambda_0 + n_1^k(2 + \lambda_0)) a_{11}^k r^{n_1^k - 1} + (2\lambda_0 + n_2^k(2 + \lambda_0)) a_{12}^k r^{n_2^k - 1}] e^{\omega_k t + \gamma_k}, \\ \sigma_\theta^e &= (2 + 3\lambda_0) a_{11}^0 + \frac{\lambda_0 + 2}{r^2} a_{12}^0 + \\ &+ \sum_{k=1}^n [(2 + \lambda_0(2 + n_1^k)) a_{11}^k r^{n_1^k - 1} + (2 + \lambda_0(2 + n_2^k)) a_{12}^k r^{n_2^k - 2}] e^{\omega_k t + \gamma_k}. \end{aligned} \quad (9)$$

Вследствие осевой симметрии имеем

$$S_\theta = S_\varphi = -S_r/2, \quad e_\theta = e_\varphi = -e_r/2.$$

Функцию нагружения и ассоциированный закон пластического течения запишем в форме

$$\begin{aligned} \alpha \sigma_1 + \sqrt{3/2} (S_r - c_0 e_r^p - \eta_0 \dot{e}_r^p) - K_0 &= 0, \\ \dot{\varepsilon}_r^p = \xi(\alpha/3 + \sqrt{2/3}) + \Psi \dot{\sigma}_1, \quad \dot{\varepsilon}_\theta^p = \xi(\alpha/3 - \sqrt{1/6}) + \Psi \dot{\sigma}_1. \end{aligned}$$

С учетом соотношений (1) находим

$$\begin{aligned} \alpha \sigma_1^k + \sqrt{3/2} (S_r^k - [c_0 + \eta_0 \omega_k \beta_k] e_r^{p^k}) - K_0 \beta_k &= 0, \\ \omega_k (\varepsilon_r^{p^k} - \Psi \sigma_1^k) \beta_k = \xi^k (\alpha/3 + \sqrt{2/3}), \quad \omega_k (\varepsilon_\theta^{p^k} - \Psi \sigma_1^k) \beta_k &= \xi^k (\alpha/3 - \sqrt{1/6}), \end{aligned}$$

откуда с учетом закона Гука (4) и соотношений Коши (3) получаем

$$\begin{aligned} \sigma_r^p &= \sum_{k=0}^n \frac{1}{\Delta^k} \left(\Delta_{11}^k \frac{du^k}{dr} + \Delta_{12}^k \frac{u^k}{r} + \Delta_{13}^k K_0 \beta_k \right) e^{\omega_k t + \gamma_k}, \\ \sigma_\theta^p &= \sum_{k=0}^n \frac{1}{\Delta^k} \left(\Delta_{21}^k \frac{du^k}{dr} + \Delta_{22}^k \frac{u^k}{r} + \Delta_{23}^k K_0 \beta_k \right) e^{\omega_k t + \gamma_k}, \end{aligned} \quad (10)$$

где

$$\begin{aligned}\Delta^k &= 3\alpha\lambda_0\sqrt{6} + 6\alpha^2(2 + 3\lambda_0) + 3(2 + c_0 + \beta_k\eta_0\omega_k)[6\Psi(2 + 3\lambda_0) + 3\lambda_0 + 6], \\ \Delta_{11}^k &= 4(2 + 3\lambda_0)(\sqrt{2}\alpha - \sqrt{3})^2 + 12(c_0 + \beta_k\eta_0\omega_k)[2\Psi(2 + 3\lambda_0) + 3\lambda_0 + 3], \\ \Delta_{12}^k &= 4(2 + 3\lambda_0)(6 - 2\alpha^2 - \sqrt{6}\alpha) - 6(c_0 + \beta_k\eta_0\omega_k)[4\Psi(2 + 3\lambda_0) - 3\lambda_0], \\ \Delta_{13}^k &= (2 + 3\lambda_0)(6\alpha + 12\sqrt{6}\Psi) + 3\sqrt{6}(4 + 3\lambda_0), \\ \Delta_{21}^k &= 2(2 + 3\lambda_0)(6 + 2\alpha^2 - \sqrt{6}\alpha) + 6(c_0 + \beta_k\eta_0\omega_k)[3\lambda_0 - 2\Psi(2 + 3\lambda_0)], \\ \Delta_{22}^k &= 4(2 + 3\lambda_0)(\alpha + \sqrt{6})^2 + 12(c_0 + \beta_k\eta_0\omega_k)[\Psi(2 + 3\lambda_0) + 3\lambda_0 + 3], \\ \Delta_{23}^k &= 6(2 + 3\lambda_0)(\alpha - \sqrt{6}\Psi) - 6\sqrt{6}.\end{aligned}$$

Подставляя соотношения (10) в уравнения движения (2), получаем систему уравнений для определения компонент перемещений в пластической области:

$$b_0^k \frac{d^2 u^k}{dr^2} + b_1^k \frac{du^k}{dr} - b_2^k \frac{u^k}{r^2} + b_3^k \frac{K_0}{r} = 0, \quad k = 0, \dots, n. \quad (11)$$

Здесь

$$\begin{aligned}b_0^k &= 4(2 + 3\lambda_0)(\sqrt{2}\alpha - \sqrt{3})^2 + 12(c_0 + \beta_k\eta_0\omega_k)[2\Psi(2 + 3\lambda_0) + 3\lambda_0 + 3], \\ b_1^k &= 4(2 + 3\lambda_0)(\alpha - \sqrt{6})^2 + 6(c_0 + \beta_k\eta_0\omega_k)[8\Psi(2 + 3\lambda_0) + 9\lambda_0 + 12], \\ b_2^k &= 4(2 + 3\lambda_0)(4\alpha^2 + 5\sqrt{6}\alpha + 6) + (c_0 + \beta_k\eta_0\omega_k)[48\Psi(2 + 3\lambda_0) + 18(4 + 3\lambda_0)] + \\ &+ \rho_0\omega_k^2\beta_k[6(2 + 3\lambda_0)\alpha^2 + 3\lambda_0\alpha\sqrt{6} + 9(2 + c_0 + \beta_k\eta_0\omega_k)(2\Psi[2 + 3\lambda_0] + \lambda_0 + 2)], \\ b_3^k &= 18\beta_k\sqrt{6}[\lambda_0 + 2 - 2(2 + 3\lambda_0)\Psi].\end{aligned}$$

Решение системы (11) определим в форме

$$u^p = \sum_{k=0}^n (a_{21}^k r^{m_1^k} + a_{22}^k r^{m_2^k}) e^{\omega_k t + \gamma_k} + \frac{b_3^0 K_0}{b_2^0 - b_1^0} r + a_{21}^0 r^{m_1^0} + a_{22}^0 r^{m_2^0},$$

где

$$m_{1,2}^k = (b_1^k - b_0^k \pm \sqrt{(b_1^k - b_0^k)^2 + 4b_0^k b_2^k}) / (2b_0^k), \quad (12)$$

a_{ij}^k — константы интегрирования.

Согласно (10)–(12) компоненты напряжений в пластической области имеют вид

$$\begin{aligned}\sigma_r^p &= \sum_{k=1}^n \frac{1}{\Delta^k} [(\Delta_{11}^k m_1^k + \Delta_{12}^k) a_{21}^k r^{m_1^k - 1} + (\Delta_{11}^k m_2^k + \Delta_{12}^k) a_{22}^k r^{m_2^k - 1}] e^{\omega_k t + \gamma_k} + \\ &+ \frac{1}{\Delta^0} \left[\Delta_{13}^0 + \frac{b_3^0 (\Delta_{11}^0 + \Delta_{12}^0)}{b_2^0 - b_1^0} \right] K_0, \\ \sigma_\theta^p &= \sum_{k=1}^n \frac{1}{\Delta^k} [(\Delta_{21}^k m_1^k + \Delta_{22}^k) a_{21}^k r^{m_1^k - 1} + (\Delta_{21}^k m_2^k + \Delta_{22}^k) a_{22}^k r^{m_2^k - 1}] e^{\omega_k t + \gamma_k} + \\ &+ \frac{1}{\Delta^0} \left[\Delta_{23}^0 + \frac{b_3^0 (\Delta_{21}^0 + \Delta_{22}^0)}{b_2^0 - b_1^0} \right] K_0.\end{aligned} \quad (13)$$

Подчиняя полученные решения (8), (9), (12), (13) соответствующим граничным условиям, условиям сопряжения (5) и начальному условию (6), для констант интегрирования окончательно получаем

$$\begin{aligned}
 a_{ij}^k &= g_{ij}^k/g^k, \quad i = 1, 2, \quad j = 1, 2, \quad k = 1, \dots, n, \\
 g^k &= d_{11}^k w_1^k [a_*^{m_1^k-1} d_{21}^k (d_{12}^k - d_{22}^k) + d_{22}^k a_*^{m_2^k-1} (d_{21}^k - d_{12}^k)] - \\
 &\quad - d_{12}^k w_2^k [a_*^{m_1^k-1} d_{21}^k (d_{11}^k - d_{22}^k) + d_{22}^k a_*^{m_2^k-1} (d_{21}^k - d_{12}^k)], \\
 g_1^k &= P_0^k [a_*^{m_1^k-1} d_{21}^k (d_{12}^k - d_{22}^k) + d_{22}^k a_*^{m_2^k-1} (d_{21}^k - d_{12}^k)] - d_{12}^k w_2^k [(p_0^k - f_1[1 - \beta_k])(d_{21}^k - d_{22}^k) + \\
 &\quad + (d_{21}^k a_*^{m_1^k-1} (f_1 - f_2 d_{22}^k) + d_{22}^k a_*^{m_2^k-1} [f_2 d_{21}^k - f_1])(1 - \beta_k)], \\
 g_2^k &= d_{21}^k w_1^k [(p_0^k - f_1[1 - \beta_k])(d_{21}^k - d_{22}^k) + (a_*^{m_1^k-1} d_{21}^k [f_1 - f_2 d_{22}^k] + a_*^{m_2^k-1} d_{22}^k [f_2 d_{21}^k - f_1])(1 - \beta_k)] - \\
 &\quad - P_0^k [d_{21}^k a_*^{m_1^k-1} (d_{11}^k - d_{22}^k) + d_{22}^k a_*^{m_2^k-1} (d_{21}^k - d_{11}^k)], \\
 g_3^k &= (p_0^k - f_1[1 - \beta_k]) [d_{11}^k w_1^k (d_{22}^k - d_{12}^k) + d_{12}^k w_2^k (d_{11}^k - d_{12}^k)] - \\
 &\quad - d_{22}^k a_*^{m_2^k-1} [P_0^k (d_{11}^k - d_{12}^k) + (d_{12}^k w_2^k [f_1 - f_2 d_{11}^k] + d_{11}^k [f_2 d_{12}^k - f_1])(1 - \beta_k)], \\
 g_4^k &= d_{21}^k a_*^{m_1^k-1} [P_0^k (d_{11}^k - d_{12}^k) + (d_{12}^k w_2^k [f_1 - f_2 d_{11}^k] + d_{11}^k [f_2 d_{12}^k - f_1])(1 - \beta_k)] - \\
 &\quad - (p_0^k - f_1[1 - \beta_k]) [d_{11}^k w_1^k (d_{21}^k - d_{12}^k) + d_{12}^k w_2^k (d_{11}^k - d_{21}^k)],
 \end{aligned}$$

$$w_1^k = \begin{cases} 1, & k = 0, \\ (qa_*)^{n_1^k-1}, & k > 0, \end{cases} \quad w_2^k = \begin{cases} (qa_*)^{-2}, & k = 0, \\ (qa_*)^{n_2^k-1}, & k > 0, \end{cases}$$

$$\begin{aligned}
 d_{11}^k &= (2 + \lambda_0)(1 + n_1^k[1 - \beta_k]), & d_{12}^k &= (2 + \lambda_0)(1 + n_2^k[1 - \beta_k]), \\
 d_{21}^k &= (\Delta_{11}^k m_1^k + \Delta_{12}^k)/\Delta^k, & d_{22}^k &= (\Delta_{11}^k m_2^k + \Delta_{12}^k)/\Delta^k, \\
 f_1 &= \frac{1}{\Delta^0} \left[\Delta_{13}^k + \frac{b_3^0(\Delta_{11}^0 + \Delta_{12}^0)}{b_2^0 - b_1^0} \right] K_0, & f_2 &= \frac{b_3^0}{b_2^0 - b_1^0} K_0.
 \end{aligned}$$

Радиус упругопластической границы находим из уравнения

$$\begin{aligned}
 \sum_{k=1}^n \frac{1}{g^k} \left[(\Delta_{21}^k m_1^k + \Delta_{22}^k) \frac{g_{21}^k}{\Delta^k} + (\Delta_{21}^k m_2^k + \Delta_{22}^k) \frac{g_{22}^k}{\Delta^k} - \right. \\
 \left. - (2 + \lambda_0(2 + n_1^k))g_{11}^k - (2 + \lambda_0(2 + n_2^k))g_{12}^k \right] e^{\omega_k t + \gamma_k} = \\
 = \frac{1}{g^0} [(2 + 3\lambda_0)g_{11}^0 + (\lambda_0 + 2)g_{12}^0] - \frac{1}{\Delta^0} \left[\Delta_{23}^0 + \frac{b_3^0(\Delta_{21}^0 + \Delta_{22}^0)}{b_2^0 - b_1^0} \right] K_0.
 \end{aligned}$$

Численные расчеты проводились для случая зависимости внешней и внутренней динамических нагрузок от времени при $\Psi = K_0 = 0,01$, $\rho_0 = 0,001$, $\lambda_0 = 1,5$ (рис. 2). Результаты численного эксперимента представлены на рис. 3, 4, на которых показана зависимость величины a_* , обратной радиусу упругопластической границы, от времени t при различных значениях физико-механических параметров [4].

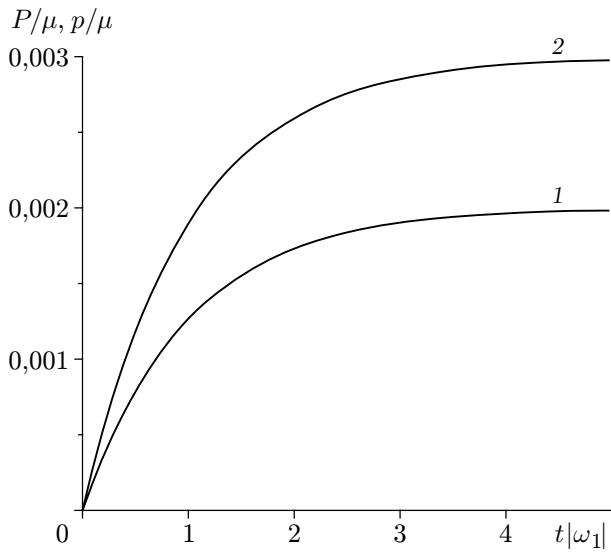


Рис. 2

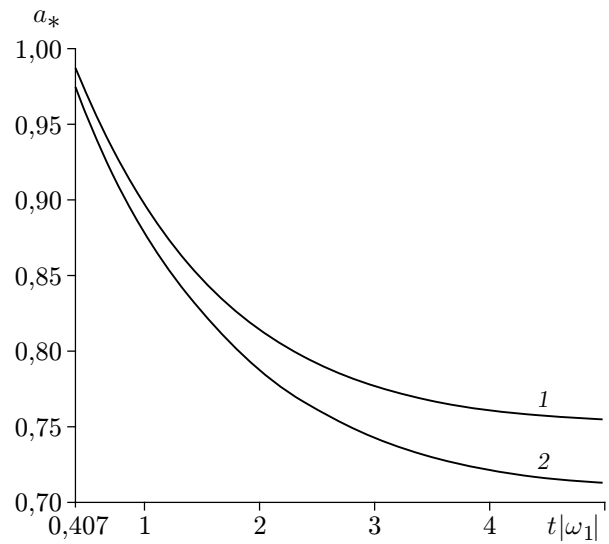


Рис. 3

Рис. 2. Зависимость внешней P/μ (1) и внутренней p/μ (2) нагрузок от времени ($\omega_k = -k \cdot 10^{-2}$; $\gamma_k = 0$; $k = 1, 2, 3$)

Рис. 3. Зависимость величины, обратной радиусу упругопластической границы, от времени при $\alpha = 0,1$, $c_0 = 0,1$ и различных значениях вязкости: 1 — $\eta_0 = 0,05$, 2 — $\eta_0 = 0,10$

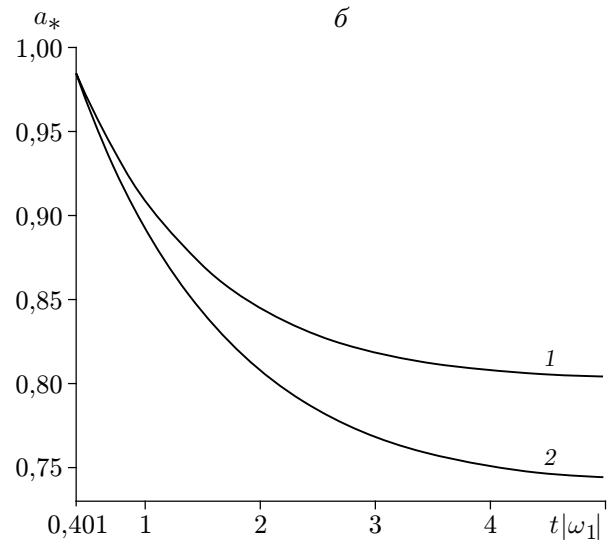
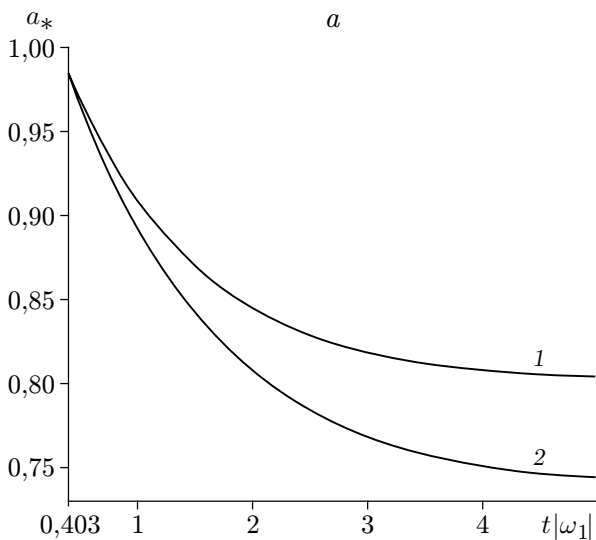


Рис. 4. Зависимость величины, обратной радиусу упругопластической границы, от времени при $\eta_0 = 0,05$ и различных значениях скорости дилатансии и параметра упрочнения:

a — $\alpha = 0,2$, b — $\alpha = 0,3$; 1 — $c_0 = 0,10$, 2 — $c_0 = 0,05$

Следует отметить, что при $P = P^0$, $p = p^0$ полученные решения совпадают с решениями статической задачи, приведенной в [2].

На рис. 3, 4 показано влияние вязкости и параметра упрочнения на поведение упругопластической границы. Видно, что при увеличении вязкости область пластического деформирования также увеличивается, а при увеличении параметра упрочнения данная область уменьшается. При этом с течением времени радиус упругопластической границы стремится к постоянному значению.

ЛИТЕРАТУРА

1. **Ершов Л. В.** Об осесимметричной потере устойчивости толстостенной сферической оболочки, находящейся под действием равномерного давления // ПМТФ. 1960. № 4. С. 81–82.
2. **Спорыхин А. Н.** Метод возмущений в задачах устойчивости сложных сред. Воронеж: Воронеж. гос. ун-т, 1997.
3. **Семыкина Т. Д.** О трехосном растяжении упругопластического пространства, ослабленного сферической полостью // Изв. АН СССР. Механика и машиностроение. 1963. № 1. С. 17–21.
4. **Спорыхин А. Н.** Устойчивость равновесия пространственных тел и задачи механики горных пород / А. Н. Спорыхин, А. И. Шашкин. М.: Физматлит, 2004.
5. **Ивлев Д. Д.** Математическая теория пластичности / Д. Д. Ивлев, А. Ю. Ишлинский. М.: Физматлит, 2001.

*Поступила в редакцию 24/III 2008 г.,
в окончательном варианте — 5/VIII 2008 г.*
